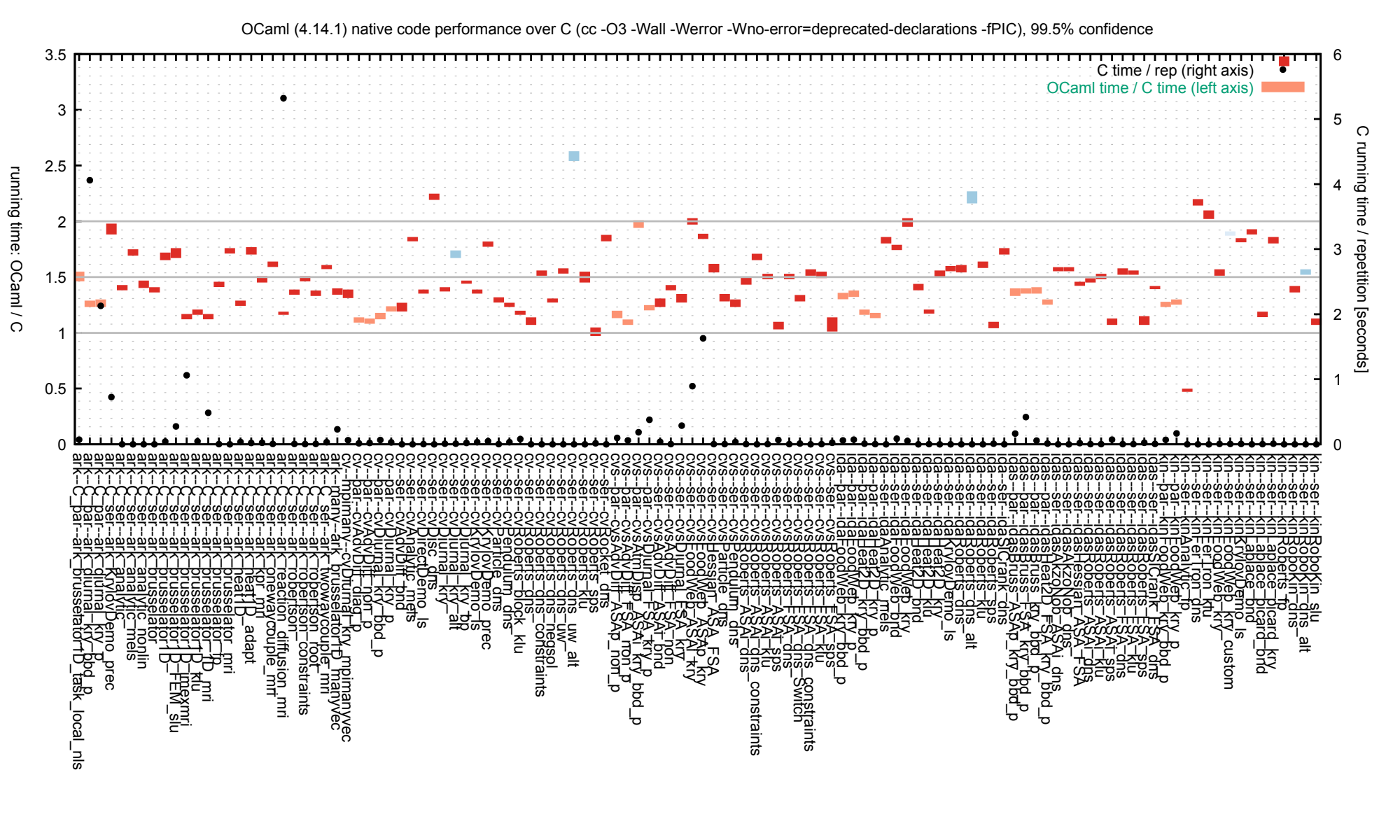
OCaml (4.14.1) native code performance over C (cc -O3 -Wall -Werror -Wno-error=deprecated-declarations -fPIC), 99.5% confidence
C time / rep (right axis)
OCaml time / C time (left axis)
running time: OCaml / C
C running time / repetition [seconds]
0
0.5
1
1.5
2
2.5
3
3.5
0
1
2
3
4
5
6
ark--C_par--ark_brusselator1D_task_local_nls
ark--C_par--ark_diurnal_kry_bbd_p
ark--C_par--ark_diurnal_kry_p
ark--C_par--ark_KryloVDemo_prec
ark--C_par--ark_KryloVDemo_ls
ark--C_par--ark_analytic_mels
ark--C_par--ark_analytic_nonlin
ark--C_par--ark_brusselator
ark--C_par--ark_brusselator1D_FEM_slu
ark--C_par--ark_brusselator1D_klu
ark--C_par--ark_brusselator1D_mri
ark--C_par--ark_brusselator1D_nlexmri
ark--C_par--ark_brusselator_fp_mri
ark--C_par--ark_brusselator_mri
ark--C_par--ark_heat1D_adapt
ark--C_par--ark_kpr_mri
ark--C_par--ark_onewaycouple_mri
ark--C_par--ark_reaction_diffusion_mri
ark--C_par--ark_robertson_constraints
ark--C_par--ark_robertson_root
ark--C_par--ark_robertson_roots
ark--C_par--ark_twowaycouple_mri
ark--C_par--ark_manyvec
ark--C_par--ark_many-ark_brusselator1D_manyvec
cv--mpimany-cvDiurnal_kry_mpimanyvec
cv--par--cvAdvDiff_diag_p
cv--par--cvAdvDiff_non_p
cv--par--cvDiurnal_kry_bbd_p
cv--par--cvDiurnal_kry_p
cv--par--cvAdvDiff_bnd
cv--ser--cvAnalytic_mels
cv--ser--cvDirectDemo_ls
cv--ser--cvDisc_dns
cv--ser--cvDiurnal_kry_alt
cv--ser--cvDiurnal_kry_bp
cv--ser--cvKryloVDemo_ls
cv--ser--cvKryloVDemo_prec
cv--ser--cvParticle_dns
cv--ser--cvPendulum_dns
cv--ser--cvRobertsBlock_klu
cv--ser--cvRobertsBlock_sps
cv--ser--cvRobertsdns_constraints
cv--ser--cvRobertsdns_negsol
cv--ser--cvRobertsdns_uw_alt
cv--ser--cvRobertsdns_uw_klu
cv--ser--cvRobertsdns_sps
cv--ser--cvRocket_dns
cv--par--cvAdvDiff_FSA_non_p
cv--par--cvAdvDiff_FSAp_non_p
cv--par--cvDiurnal_FSA_kry_bbd_p
cv--par--cvDiurnal_FSA_kry_p
cv--par--cvDiurnal_FSA_kry
cv--ser--cvFoodWeb_ASAp_kry
cv--ser--cvFoodWeb_ASAi_kry
cv--ser--cvFessian_dns
cv--ser--cvParticle_dns
cv--ser--cvPendulum_dns
cv--ser--cvRobertsdns_constraints
cv--ser--cvRobertsdns_Switch
cv--ser--cvRobertsdns_ESA_constraints
cv--ser--cvRobertsdns_ESA_klu
cv--ser--cvRobertsdns_ESA_sps
cv--ser--cvRobertsdns_ASAi_klu
cv--ser--cvRobertsdns_ASAi_sps
cv--ser--cvRobertsdns_ASAi_constraints
cv--ser--cvRobertsdns_ASAi_bnd
cv--ser--cvRobertsdns_ASAi_non
cv--ser--cvRobertsdns_ASAi_kry
cv--ser--cvRobertsdns_ASAi_kry_bbd_p
cv--ser--cvRobertsdns_ASAi_kry_p
cv--par--cvAdvDiff_FSA_non_p
cv--par--cvAdvDiff_FSAp_non_p
cv--par--cvDiurnal_FSA_kry_bbd_p
cv--par--cvDiurnal_FSA_kry_p
cv--par--cvAdvDiff_bnd
cv--ser--cvAnalytic_mels
cv--ser--cvDirectDemo_ls
cv--ser--cvDisc_dns
cv--ser--cvDiurnal_kry_alt
cv--ser--cvDiurnal_kry_bp
cv--ser--cvKryloVDemo_ls
cv--ser--cvKryloVDemo_prec
cv--ser--cvParticle_dns
cv--ser--cvPendulum_dns
cv--ser--cvRobertsBlock_klu
cv--ser--cvRobertsBlock_sps
cv--ser--cvRobertsdns_constraints
cv--ser--cvRobertsdns_negsol
cv--ser--cvRobertsdns_uw_alt
cv--ser--cvRobertsdns_uw_klu
cv--ser--cvRobertsdns_sps
cv--ser--cvRocket_dns
cv--par--cvAdvDiff_FSA_non_p
cv--par--cvAdvDiff_FSAp_non_p
cv--par--cvDiurnal_FSA_kry_bbd_p
cv--par--cvDiurnal_FSA_kry_p
cv--par--cvAdvDiff_bnd
cv--ser--cvAnalytic_mels
cv--ser--cvDirectDemo_ls
cv--ser--cvDisc_dns
cv--ser--cvDiurnal_kry_alt
cv--ser--cvDiurnal_kry_bp
cv--ser--cvKryloVDemo_ls
cv--ser--cvKryloVDemo_prec
cv--ser--cvParticle_dns
cv--ser--cvPendulum_dns
cv--ser--cvRobertsBlock_klu
cv--ser--cvRobertsBlock_sps
cv--ser--cvRobertsdns_constraints
cv--ser--cvRobertsdns_negsol
cv--ser--cvRobertsdns_uw_alt
cv--ser--cvRobertsdns_uw_klu
cv--ser--cvRobertsdns_sps
cv--ser--cvRocket_dns
cv--par--cvAdvDiff_FSA_non_p
cv--par--cvAdvDiff_FSAp_non_p
cv--par--cvDiurnal_FSA_kry_bbd_p
cv--par--cvDiurnal_FSA_kry_p
cv--par--cvAdvDiff_bnd
cv--ser--cvAnalytic_mels
cv--ser--cvDirectDemo_ls
cv--ser--cvDisc_dns
cv--ser--cvDiurnal_kry_alt
cv--ser--cvDiurnal_kry_bp
cv--ser--cvKryloVDemo_ls
cv--ser--cvKryloVDemo_prec
cv--ser--cvParticle_dns
cv--ser--cvPendulum_dns
cv--ser--cvRobertsBlock_klu
cv--ser--cvRobertsBlock_sps
cv--ser--cvRobertsdns_constraints
cv--ser--cvRobertsdns_negsol
cv--ser--cvRobertsdns_uw_alt
cv--ser--cvRobertsdns_uw_klu
cv--ser--cvRobertsdns_sps
cv--ser--cvRocket_dns
cv--par--cvAdvDiff_FSA_non_p
cv--par--cvAdvDiff_FSAp_non_p
cv--par--cvDiurnal_FSA_kry_bbd_p
cv--par--cvDiurnal_FSA_kry_p
cv--par--cvAdvDiff_bnd
cv--ser--cvAnalytic_mels
cv--ser--cvDirectDemo_ls
cv--ser--cvDisc_dns
cv--ser--cvDiurnal_kry_alt
cv--ser--cvDiurnal_kry_bp
cv--ser--cvKryloVDemo_ls
cv--ser--cvKryloVDemo_prec
cv--ser--cvParticle_dns
cv--ser--cvPendulum_dns
cv--ser--cvRobertsBlock_klu
cv--ser--cvRobertsBlock_sps
cv--ser--cvRobertsdns_constraints
cv--ser--cvRobertsdns_negsol
cv--ser--cvRobertsdns_uw_alt
cv--ser--cvRobertsdns_uw_klu
cv--ser--cvRobertsdns_sps
cv--ser--cvRocket_dns
cv--par--cvAdvDiff_FSA_non_p
cv--par--cvAdvDiff_FSAp_non_p
cv--par--cvDiurnal_FSA_kry_bbd_p
cv--par--cvDiurnal_FSA_kry_p
cv--par--cvAdvDiff_bnd
cv--ser--cvAnalytic_mels
cv--ser--cvDirectDemo_ls
cv--ser--cvDisc_dns
cv--ser--cvDiurnal_kry_alt
cv--ser--cvDiurnal_kry_bp
cv--ser--cvKryloVDemo_ls
cv--ser--cvKryloVDemo_prec
cv--ser--cvParticle_dns
cv--ser--cvPendulum_dns
cv--ser--cvRobertsBlock_klu
cv--ser--cvRobertsBlock_sps
cv--ser--cvRobertsdns_constraints
cv--ser--cvRobertsdns_negsol
cv--ser--cvRobertsdns_uw_alt
cv--ser--cvRobertsdns_uw_klu
cv--ser--cvRobertsdns_sps
cv--ser--cvRocket_dns
cv--par--cvAdvDiff_FSA_non_p
cv--par--cvAdvDiff_FSAp_non_p
cv--par--cvDiurnal_FSA_kry_bbd_p
cv--par--cvDiurnal_FSA_kry_p
cv--par--cvAdvDiff_bnd
cv--ser--cvAnalytic_mels
cv--ser--cvDirectDemo_ls
cv--ser--cvDisc_dns
cv--ser--cvDiurnal_kry_alt
cv--ser--cvDiurnal_kry_bp
cv--ser--cvKryloVDemo_ls
cv--ser--cvKryloVDemo_prec
cv--ser--cvParticle_dns
cv--ser--cvPendulum_dns
cv--ser--cvRobertsBlock_klu
cv--ser--cvRobertsBlock_sps
cv--ser--cvRobertsdns_constraints
cv--ser--cvRobertsdns_negsol
cv--ser--cvRobertsdns_uw_alt
cv--ser--cvRobertsdns_uw_klu
cv--ser--cvRobertsdns_sps
cv--ser--cvRocket_dns
cv--ser--cvFoodWeb_ASAp_kry
cv--ser--cvFoodWeb_ASAi_kry
cv--ser--cvFessian_dns
cv--ser--cvParticle_dns
cv--ser--cvPendulum_dns
cv--ser--cvRobertsdns_constraints
cv--ser--cvRobertsdns_Switch
cv--ser--cvRobertsdns_ESA_constraints
cv--ser--cvRobertsdns_ESA_klu
cv--ser--cvRobertsdns_ESA_sps
cv--ser--cvRobertsdns_ASAi_klu
cv--ser--cvRobertsdns_ASAi_sps
cv--ser--cvRobertsdns_ASAi_constraints
cv--ser--cvRobertsdns_ASAi_bnd
cv--ser--cvRobertsdns_ASAi_non
cv--ser--cvRobertsdns_ASAi_kry
cv--ser--cvRobertsdns_ASAi_kry_bbd_p
cv--ser--cvRobertsdns_ASAi_kry_p
cv--par--cvAdvDiff_FSA_non_p
cv--par--cvAdvDiff_FSAp_non_p
cv--par--cvDiurnal_FSA_kry_bbd_p
cv--par--cvDiurnal_FSA_kry_p
cv--par--cvAdvDiff_bnd
cv--ser--cvAnalytic_mels
cv--ser--cvDirectDemo_ls
cv--ser--cvDisc_dns
cv--ser--cvDiurnal_kry_alt
cv--ser--cvDiurnal_kry_bp
cv--ser--cvKryloVDemo_ls
cv--ser--cvKryloVDemo_prec
cv--ser--cvParticle_dns
cv--ser--cvPendulum_dns
cv--ser--cvRobertsBlock_klu
cv--ser--cvRobertsBlock_sps
cv--ser--cvRobertsdns_constraints
cv--ser--cvRobertsdns_negsol
cv--ser--cvRobertsdns_uw_alt
cv--ser--cvRobertsdns_uw_klu
cv--ser--cvRobertsdns_sps
cv--ser--cvRocket_dns
cv--par--cvAdvDiff_FSA_non_p
cv--par--cvAdvDiff_FSAp_non_p
cv--par--cvDiurnal_FSA_kry_bbd_p
cv--par--cvDiurnal_FSA_kry_p
cv--par--cvAdvDiff_bnd
cv--ser--cvAnalytic_mels
cv--ser--cvDirectDemo_ls
cv--ser--cvDisc_dns
cv--ser--cvDiurnal_kry_alt
cv--ser--cvDiurnal_kry_bp
cv--ser--cvKryloVDemo_ls
cv--ser--cvKryloVDemo_prec
cv--ser--cvParticle_dns
cv--ser--cvPendulum_dns
cv--ser--cvRobertsBlock_klu
cv--ser--cvRobertsBlock_sps
cv--ser--cvRobertsdns_constraints
cv--ser--cvRobertsdns_negsol
cv--ser--cvRobertsdns_uw_alt
cv--ser--cvRobertsdns_uw_klu
cv--ser--cvRobertsdns_sps
cv--ser--cvRocket_dns
cv--ser--cvFoodWeb_ASAp_kry
cv--ser--cvFoodWeb_ASAi_kry
cv--ser--cvFessian_dns
cv--ser--cvParticle_dns
cv--ser--cvPendulum_dns
cv--ser--cvRobertsdns_constraints
cv--ser--cvRobertsdns_Switch
cv--ser--cvRobertsdns_ESA_constraints
cv--ser--cvRobertsdns_ESA_klu
cv--ser--cvRobertsdns_ESA_sps
cv--ser--cvRobertsdns_ASAi_klu
cv--ser--cvRobertsdns_ASAi_sps
cv--ser--cvRobertsdns_ASAi_constraints
cv--ser--cvRobertsdns_ASAi_bnd
cv--ser--cvRobertsdns_ASAi_non
cv--ser--cvRobertsdns_ASAi_kry
cv--ser--cvRobertsdns_ASAi_kry_bbd_p
cv--ser--cvRobertsdns_ASAi_kry_p
cv--par--cvAdvDiff_FSA_non_p
cv--par--cvAdvDiff_FSAp_non_p
cv--par--cvDiurnal_FSA_kry_bbd_p
cv--par--cvDiurnal_FSA_kry_p
cv--par--cvAdvDiff_bnd
cv--ser--cvAnalytic_mels
cv--ser--cvDirectDemo_ls
cv--ser--cvDisc_dns
cv--ser--cvDiurnal_kry_alt
cv--ser--cvDiurnal_kry_bp
cv--ser--cvKryloVDemo_ls
cv--ser--cvKryloVDemo_prec
cv--ser--cvParticle_dns
cv--ser--cvPendulum_dns
cv--ser--cvRobertsBlock_klu
cv--ser--cvRobertsBlock_sps
cv--ser--cvRobertsdns_constraints
cv--ser--cvRobertsdns_negsol
cv--ser--cvRobertsdns_uw_alt
cv--ser--cvRobertsdns_uw_klu
cv--ser--cvRobertsdns_sps
cv--ser--cvRocket_dns
cv--par--cvAdvDiff_FSA_non_p
cv--par--cvAdvDiff_FSAp_non_p
cv--par--cvDiurnal_FSA_kry_bbd_p
cv--par--cvDiurnal_FSA_kry_p
cv--par--cvAdvDiff_bnd
cv--ser--cvAnalytic_mels
cv--ser--cvDirectDemo_ls
cv--ser--cvDisc_dns
cv--ser--cvDiurnal_kry_alt
cv--ser--cvDiurnal_kry_bp
cv--ser--cvKryloVDemo_ls
cv--ser--cvKryloVDemo_prec
cv--ser--cvParticle_dns
cv--ser--cvPendulum_dns
cv--ser--cvRobertsBlock_klu
cv--ser--cvRobertsBlock_sps
cv--ser--cvRobertsdns_constraints
cv--ser--cvRobertsdns_negsol
cv--ser--cvRobertsdns_uw_alt
cv--ser--cvRobertsdns_uw_klu
cv--ser--cvRobertsdns_sps
cv--ser--cvRocket_dns
cv--ser--cvFoodWeb_ASAp_kry
cv--ser--cvFoodWeb_ASAi_kry
cv--ser--cvFessian_dns
cv--ser--cvParticle_dns
cv--ser--cvPendulum_dns
cv--ser--cvRobertsdns_constraints
cv--ser--cvRobertsdns_Switch
cv--ser--cvRobertsdns_ESA_constraints
cv--ser--cvRobertsdns_ESA_klu
cv--ser--cvRobertsdns_ESA_sps
cv--ser--cvRobertsdns_ASAi_klu
cv--ser--cvRobertsdns_ASAi_sps
cv--ser--cvRobertsdns_ASAi_constraints
cv--ser--cvRobertsdns_ASAi_bnd
cv--ser--cvRobertsdns_ASAi_non
cv--ser--cvRobertsdns_ASAi_kry
cv--ser--cvRobertsdns_ASAi_kry_bbd_p
cv--ser--cvRobertsdns_ASAi_kry_p
cv--par--cvAdvDiff_FSA_non_p
cv--par--cvAdvDiff_FSAp_non_p
cv--par--cvDiurnal_FSA_kry_bbd_p
cv--par--cvDiurnal_FSA_kry_p
cv--par--cvAdvDiff_bnd
cv--ser--cvAnalytic_mels
cv--ser--cvDirectDemo_ls
cv--ser--cvDisc_dns
cv--ser--cvDiurnal_kry_alt
cv--ser--cvDiurnal_kry_bp
cv--ser--cvKryloVDemo_ls
cv--ser--cvKryloVDemo_prec
cv--ser--cvParticle_dns
cv--ser--cvPendulum_dns
cv--ser--cvRobertsBlock_klu
cv--ser--cvRobertsBlock_sps
cv--ser--cvRobertsdns_constraints
cv--ser--cvRobertsdns_negsol
cv--ser--cvRobertsdns_uw_alt
cv--ser--cvRobertsdns_uw_klu
cv--ser--cvRobertsdns_sps
cv--ser--cvRocket_dns
cv--par--cvAdvDiff_FSA_non_p
cv--par--cvAdvDiff_FSAp_non_p
cv--par--cvDiurnal_FSA_kry_bbd_p
cv--par--cvDiurnal_FSA_kry_p
cv--par--cvAdvDiff_bnd
cv--ser--cvAnalytic_mels
cv--ser--cvDirectDemo_ls
cv--ser--cvDisc_dns
cv--ser--cvDiurnal_kry_alt
cv--ser--cvDiurnal_kry_bp
cv--ser--cvKryloVDemo_ls
cv--ser--cvKryloVDemo_prec
cv--ser--cvParticle_dns
cv--ser--cvPendulum_dns
cv--ser--cvRobertsBlock_klu
cv--ser--cvRobertsBlock_sps
cv--ser--cvRobertsdns_constraints
cv--ser--cvRobertsdns_negsol
cv--ser--cvRobertsdns_uw_alt
cv--ser--cvRobertsdns_uw_klu
cv--ser--cvRobertsdns_sps
cv--ser--cvRocket_dns
cv--ser--cvFoodWeb_ASAp_kry
cv--ser--cvFoodWeb_ASAi_kry
cv--ser--cvFessian_dns
cv--ser--cvParticle_dns
cv--ser--cvPendulum_dns
cv--ser--cvRobertsdns_constraints
cv--ser--cvRobertsdns_Switch
cv--ser--cvRobertsdns_ESA_constraints
cv--ser--cvRobertsdns_ESA_klu
cv--ser--cvRobertsdns_ESA_sps
cv--ser--cvRobertsdns_ASAi_klu
cv--ser--cvRobertsdns_ASAi_sps
cv--ser--cvRobertsdns_ASAi_constraints
cv--ser--cvRobertsdns_ASAi_bnd
cv--ser--cvRobertsdns_ASAi_non
cv--ser--cvRobertsdns_ASAi_kry
cv--ser--cvRobertsdns_ASAi_kry_bbd_p
cv--ser--cvRobertsdns_ASAi_kry_p
cv--par--cvAdvDiff_FSA_non_p
cv--par--cvAdvDiff_FSAp_non_p
cv--par--cvDiurnal_FSA_kry_bbd_p
cv--par--cvDiurnal_FSA_kry_p
cv--par--cvAdvDiff_bnd
cv--ser--cvAnalytic_mels
cv--ser--cvDirectDemo_ls
cv--ser--cvDisc_dns
cv--ser--cvDiurnal_kry_alt
cv--ser--cvDiurnal_kry_bp
cv--ser--cvKryloVDemo_ls
cv--ser--cvKryloVDemo_prec
cv--ser--cvParticle_dns
cv--ser--cvPendulum_dns
cv--ser--cvRobertsBlock_klu
cv--ser--cvRobertsBlock_sps
cv--ser--cvRobertsdns_constraints
cv--ser--cvRobertsdns_negsol
cv--ser--cvRobertsdns_uw_alt
cv--ser--cvRobertsdns_uw_klu
cv--ser--cvRobertsdns_sps
cv--ser--cvRocket_dns
cv--par--cvAdvDiff_FSA_non_p
cv--par--cvAdvDiff_FSAp_non_p
cv--par--cvDiurnal_FSA_kry_bbd_p
cv--par--cvDiurnal_FSA_kry_p
cv--par--cvAdvDiff_bnd
cv--ser--cvAnalytic_mels
cv--ser--cvDirectDemo_ls
cv--ser--cvDisc_dns
cv--ser--cvDiurnal_kry_alt
cv--ser--cvDiurnal_kry_bp
cv--ser--cvKryloVDemo_ls
cv--ser--cvKryloVDemo_prec
cv--ser--cvParticle_dns
cv--ser--cvPendulum_dns
cv--ser--cvRobertsBlock_klu
cv--ser--cvRobertsBlock_sps
cv--ser--cvRobertsdns_constraints
cv--ser--cvRobertsdns_negsol
cv--ser--cvRobertsdns_uw_alt
cv--ser--cvRobertsdns_uw_klu
cv--ser--cvRobertsdns_sps
cv--ser--cvRocket_dns
cv--ser--cvFoodWeb_ASAp_kry
cv--ser--cvFoodWeb_ASAi_kry
cv--ser--cvFessian_dns
cv--ser--cvParticle_dns
cv--ser--cvPendulum_dns
cv--ser--cvRobertsdns_constraints
cv--ser--cvRobertsdns_Switch
cv--ser--cvRobertsdns_ESA_constraints
cv--ser--cvRobertsdns_ESA_klu
cv--ser--cvRobertsdns_ESA_sps
cv--ser--cvRobertsdns_ASAi_klu
cv--ser--cvRobertsdns_ASAi_sps
cv--ser--cvRobertsdns_ASAi_constraints
cv--ser--cvRobertsdns_ASAi_bnd
cv--ser--cvRobertsdns_ASAi_non
cv--ser--cvRobertsdns_ASAi_kry
cv--ser--cvRobertsdns_ASAi_kry_bbd_p
cv--ser--cvRobertsdns_ASAi_kry_p
cv--par--cvAdvDiff_FSA_non_p
cv--par--cvAdvDiff_FSAp_non_p
cv--par--cvDiurnal_FSA_kry_bbd_p
cv--par--cvDiurnal_FSA_kry_p
cv--par--cvAdvDiff_bnd
cv--ser--cvAnalytic_mels
cv--ser--cvDirectDemo_ls
cv--ser--cvDisc_dns
cv--ser--cvDiurnal_kry_alt
cv--ser--cvDiurnal_kry_bp
cv--ser--cvKryloVDemo_ls
cv--ser--cvKryloVDemo_prec
cv--ser--cvParticle_dns
cv--ser--cvPendulum_dns
cv--ser--cvRobertsBlock_klu
cv--ser--cvRobertsBlock_sps
cv--ser--cvRobertsdns_constraints
cv--ser--cvRobertsdns_negsol
cv--ser--cvRobertsdns_uw_alt
cv--ser--cvRobertsdns_uw_klu
cv--ser--cvRobertsdns_sps
cv--ser--cvRocket_dns
cv--par--cvAdvDiff_FSA_non_p
cv--par--cvAdvDiff_FSAp_non_p
cv--par--cvDiurnal_FSA_kry_bbd_p
cv--par--cvDiurnal_FSA_kry_p
cv--par--cvAdvDiff_bnd
cv--ser--cvAnalytic_mels
cv--ser--cvDirectDemo_ls
cv--ser--cvDisc_dns
cv--ser--cvDiurnal_kry_alt
cv--ser--cvDiurnal_kry_bp
cv--ser--cvKryloVDemo_ls
cv--ser--cvKryloVDemo_prec
cv--ser--cvParticle_dns
cv--ser--cvPendulum_dns
cv--ser--cvRobertsBlock_klu
cv--ser--cvRobertsBlock_sps
cv--ser--cvRobertsdns_constraints
cv--ser--cvRobertsdns_negsol
cv--ser--cvRobertsdns_uw_alt
cv--ser--cvRobertsdns_uw_klu
cv--ser--cvRobertsdns_sps
cv--ser--cvRocket_dns
cv--ser--cvFoodWeb_ASAp_kry
cv--ser--cvFoodWeb_ASAi_kry
cv--ser--cvFessian_dns
cv--ser--cvParticle_dns
cv--ser--cvPendulum_dns
cv--ser--cvRobertsdns_constraints
cv--ser--cvRobertsdns_Switch
cv--ser--cvRobertsdns_ESA_constraints
cv--ser--cvRobertsdns_ESA_klu
cv--ser--cvRobertsdns_ESA_sps
cv--ser--cvRobertsdns_ASAi_klu
cv--ser--cvRobertsdns_ASAi_sps
cv--ser--cvRobertsdns_ASAi_constraints
cv--ser--cvRobertsdns_ASAi_bnd
cv--ser--cvRobertsdns_ASAi_non
cv--ser--cvRobertsdns_ASAi_kry
cv--ser--cvRobertsdns_ASAi_kry_bbd_p
cv--ser--cvRobertsdns_ASAi_kry_p
cv--par--cvAdvDiff_FSA_non_p
cv--par--cvAdvDiff_FSAp_non_p
cv--par--cvDiurnal_FSA_kry_bbd_p
cv--par--cvDiurnal_FSA_kry_p
cv--par--cvAdvDiff_bnd
cv--ser--cvAnalytic_mels
cv--ser--cvDirectDemo_ls
cv--ser--cvDisc_dns
cv--ser--cvDiurnal_kry_alt
cv--ser--cvDiurnal_kry_bp
cv--ser--cvKryloVDemo_ls
cv--ser--cvKryloVDemo_prec
cv--ser--cvParticle_dns
cv--ser--cvPendulum_dns
cv--ser--cvRobertsBlock_klu
cv--ser--cvRobertsBlock_sps
cv--ser--cvRobertsdns_constraints
cv--ser--cvRobertsdns_negsol
cv--ser--cvRobertsdns_uw_alt
cv--ser--cvRobertsdns_uw_klu
cv--ser--cvRobertsdns_sps
cv--ser--cvRocket_dns
cv--par--cvAdvDiff_FSA_non_p
cv--par--cvAdvDiff_FSAp_non_p
cv--par--cvDiurnal_FSA_kry_bbd_p
cv--par--cvDiurnal_FSA_kry_p
cv--par--cvAdvDiff_bnd
cv--ser--cvAnalytic_mels
cv--ser--cvDirectDemo_ls
cv--ser--cvDisc_dns
cv--ser--cvDiurnal_kry_alt
cv--ser--cvDiurnal_kry_bp
cv--ser--cvKryloVDemo_ls
cv--ser--cvKryloVDemo_prec
cv--ser--cvParticle_dns
cv--ser--cvPendulum_dns
cv--ser--cvRobertsBlock_klu
cv--ser--cvRobertsBlock_sps
cv--ser--cvRobertsdns_constraints
cv--ser--cvRobertsdns_negsol
cv--ser--cvRobertsdns_uw_alt
cv--ser--cvRobertsdns_uw_klu
cv--ser--cvRobertsdns_sps
cv--ser--cvRocket_dns
cv--ser--cvFoodWeb_ASAp_kry
cv--ser--cvFoodWeb_ASAi_kry
cv--ser--cvFessian_dns
cv--ser--cvParticle_dns
cv--ser--cvPendulum_dns
cv--ser--cvRobertsdns_constraints
cv--ser--cvRobertsdns_Switch
cv--ser--cvRobertsdns_ESA_constraints
cv--ser--cvRobertsdns_ESA_klu
cv--ser--cvRobertsdns_ESA_sps
cv--ser--cvRobertsdns_ASAi_klu
cv--ser--cvRobertsdns_ASAi_sps
cv--ser--cvRobertsdns_ASAi_constraints
cv--ser--cvRobertsdns_ASAi_bnd
cv--ser--cvRobertsdns_ASAi_non
cv--ser--cvRobertsdns_ASAi_kry
cv--ser--cvRobertsdns_ASAi_kry_bbd_p
cv--ser--cvRobertsdns_ASAi_kry_p
cv--par--cvAdvDiff_FSA_non_p
cv--par--cvAdvDiff_FSAp_non_p
cv--par--cvDiurnal_FSA_kry_bbd_p
cv--par--cvDiurnal_FSA_kry_p
cv--par--cvAdvDiff_bnd
cv--ser--cvAnalytic_mels
cv--ser--cvDirectDemo_ls
cv--ser--cvDisc_dns
cv--ser--cvDiurnal_kry_alt
cv--ser--cvDiurnal_kry_bp
cv--ser--cvKryloVDemo_ls
cv--ser--cvKryloVDemo_prec
cv--ser--cvParticle_dns
cv--ser--cvPendulum_dns
cv--ser--cvRobertsBlock_klu
cv--ser--cvRobertsBlock_sps
cv--ser--cvRobertsdns_constraints
cv--ser--cvRobertsdns_negsol
cv--ser--cvRobertsdns_uw_alt
cv--ser--cvRobertsdns_uw_klu
cv--ser--cvRobertsdns_sps
cv--ser--cvRocket_dns
cv--par--cvAdvDiff_FSA_non_p
cv--par--cvAdvDiff_FSAp_non_p
cv--par--cvDiurnal_FSA_kry_bbd_p
cv--par--cvDiurnal_FSA_kry_p
cv--par--cvAdvDiff_bnd
cv--ser--cvAnalytic_mels
cv--ser--cvDirectDemo_ls
cv--ser--cvDisc_dns
cv--ser--cvDiurnal_kry_alt
cv--ser--cvDiurnal_kry_bp
cv--ser--cvKryloVDemo_ls
cv--ser--cvKryloVDemo_prec
cv--ser--cvParticle_dns
cv--ser--cvPendulum_dns
cv--ser--cvRobertsBlock_klu
cv--ser--cvRobertsBlock_sps
cv--ser--cvRobertsdns_constraints
cv--ser--cvRobertsdns_negsol
cv--ser--cvRobertsdns_uw_alt
cv--ser--cvRobertsdns_uw_klu
cv--ser--cvRobertsdns_sps
cv--ser--cvRocket_dns
cv--ser--cvFoodWeb_ASAp_kry
cv--ser--cvFoodWeb_ASAi_kry
cv--ser--cvFessian_dns
cv--ser--cvParticle_dns
cv--ser--cvPendulum_dns
cv--ser--cvRobertsdns_constraints
cv--ser--cvRobertsdns_Switch
cv--ser--cvRobertsdns_ESA_constraints
cv--ser--cvRobertsdns_ESA_klu
cv--ser--cvRobertsdns_ESA_sps
cv--ser--cvRobertsdns_ASAi_klu
cv--ser--cvRobertsdns_ASAi_sps
cv--ser--cvRobertsdns_ASAi_constraints
cv--ser--cvRobertsdns_ASAi_bnd
cv--ser--cvRobertsdns_ASAi_non
cv--ser--cvRobertsdns_ASAi_kry
cv--ser--cvRobertsdns_ASAi_kry_bbd_p
cv--ser--cvRobertsdns_ASAi_kry_p
kin--par--kin_FoodWeb_kry_p
kin--par--kin_FoodWeb_kry_bbd_p
kin--ser--kin_analytic_fp
kin--ser--kin_Fer_Iron_dns
kin--ser--kin_Fer_Iron_klu
kin--ser--kin_FoodWeb_kry_custom
kin--ser--kin_KryloVDemo_ls
kin--ser--kin_FoodWeb_kry
kin--ser--kin_Laplace_bnd
kin--ser--kin_Laplace_picard_bnd
kin--ser--kin_Laplace_picard_kry
kin--ser--kin_Robertsdns
kin--ser--kin_Robertsdns_alt
kin--ser--kin_Robertsdns_klu
kin--ser--kin_Robertsdns_slu
kin--ser--kin_Robertsdns_sps
gas--ser--gasAzzoNoDerivSum_FSA
gas--ser--gasHeat2D_FSA_dns
gas--par--gasHeat2D_FSA_kry_bbd_p
gas--par--gasHeat2D_FSA_kry_p
gas--ser--gasCrank_dns
gas--ser--gasRobertsdns_ESA_dns
gas--ser--gasRobertsdns_ESA_klu
gas--ser--gasRobertsdns_ESA_sps
gas--ser--gasRobertsdns_ASAi_dns
gas--ser--gasRobertsdns_ASAi_klu
gas--ser--gasRobertsdns_ASAi_sps
gas--ser--gasHessian_FSA
gas--ser--gasRobertsdns_alt
gas--par--gasRuss_ASAp_kry_bbd_p
gas--par--gasRuss_ASAp_kry_p
gas--ser--gaHeat2D_klu
gas--ser--gaHeat2D_kry
gas--ser--gaHeat2D_bnd
gas--ser--gaFoodWeb_kry
gas--ser--gaFoodWeb_bnd
gas--ser--gaRobertsdns_ESA_dns
gas--ser--gaRobertsdns_alt
gas--ser--gaRobertsdns_klu
gas--ser--gaRobertsdns_sps
gas--par--gaRuss_ASAp_kry_bbd_p
gas--par--gaRuss_ASAp_kry_p
gas--par--gaHeat2D_kry_p
gas--par--gaHeat2D_kry_bbd_p
gas--par--gaHeat2D_FSA_kry_p
gas--par--gaHeat2D_FSA_kry_bbd_p
gas--ser--gaAnalytic_mels
gas--ser--gaFoodWeb_bnd
gas--ser--gaFoodWeb_kry
gas--ser--gaHeat2D_klu
gas--ser--gaHeat2D_kry
gas--ser--gaHeat2D_bnd
gas--ser--gaKryloVDemo_ls
gas--ser--gaRobertsdns_alt
gas--ser--gaRobertsdns_klu
gas--ser--gaRobertsdns_sps
gas--ser--gaRobertsdns_ESA_dns
gas--ser--gaRobertsdns_ESA_klu
gas--ser--gaRobertsdns_ESA_sps
gas--ser--gaRobertsdns_ASAi_dns
gas--ser--gaRobertsdns_ASAi_klu
gas--ser--gaRobertsdns_ASAi_sps
gas--ser--gaHessian_FSA
gas--ser--gaCrank_dns
gas--ser--gaRobertsdns_ESA_dns
gas--ser--gaRobertsdns_ESA_klu
gas--ser--gaRobertsdns_ESA_sps
gas--ser--gaRobertsdns_ASAi_dns
gas--ser--gaRobertsdns_ASAi_klu
gas--ser--gaRobertsdns_ASAi_sps
gas--ser--gaHessian_FSA
gas--ser--gaAzzoNoDerivSum_FSA
gas--ser--gaHeat2D_FSA_dns
gas--par--gaHeat2D_FSA_kry_bbd_p
gas--par--gaHeat2D_FSA_kry_p
gas--ser--gaCrank_dns
gas--ser--gaRobertsdns_ESA_dns
gas--ser--gaRobertsdns_ESA_klu
gas--ser--gaRobertsdns_ESA_sps
gas--ser--gaRobertsdns_ASAi_dns
gas--ser--gaRobertsdns_ASAi_klu
gas--ser--gaRobertsdns_ASAi_sps
gas--ser--gaHessian_FSA
kin--par--kin_FoodWeb_kry_p
kin--par--kin_FoodWeb_kry_bbd_p
kin--ser--kin_analytic_fp
kin--ser--kin_Fer_Iron_dns
kin--ser--kin_Fer_Iron_klu
kin--ser--kin_FoodWeb_kry_custom
kin--ser--kin_KryloVDemo_ls
kin--ser--kin_FoodWeb_kry
kin--ser--kin_Laplace_bnd
kin--ser--kin_Laplace_picard_bnd
kin--ser--kin_Laplace_picard_kry
kin--ser--kin_Robertsdns
kin--ser--kin_Robertsdns_alt
kin--ser--kin_Robertsdns_klu
kin--ser--kin_Robertsdns_slu
kin--ser--kin_Robertsdns_sps